

急こう配流れの桿型粗度の抵抗則について

立命館大学理工学部 正員 大同 淳之
立命館大学大学院 学生員の内藤 敏弘

1. はしがき 急こう配の自然河道は水深に比べて粒径が大きい。急こう配では緩こう配に比べて抵抗が大きいといわれるが、河床砂れきの形状や分布が複雑に関係するため、その評価法はまだ十分でない。さきに著者の一人は、砂れき粗粒粗度を対象に実験を行ない若干の解析を行なったが、任意の配列の砂れきを対象にしたとき、しゃへい係数のとりあつかいにおいて一般的取扱いに問題が残された。本報ではこれららの特性を明らかにするために桿型粗度が流れに及ぼす抵抗特性を把握することが重要であると考え、桿型粗度の抵抗を取上げた。河床上のせん断抵抗力は抵抗の線型性が成立すると桿の抗力、表面まさつ力および桿のあいだの表面まさつ力の和であるとして、運動量の関係より抵抗則を求めた。結果的には表面まさつ抵抗力は桿型粗度の抗力に比べて無視できるとしたので、実験値の比較を行って取扱いの妥当性を検討した。

2. 実験 水路は長さ8m、幅20cmの鋼製矩形断面水路を、桿粗度として断面0.5cm×0.5cmの丸棒を底面全体に配置した。水面こう配は $\sin\theta = 0.082 \sim 0.244$ で4種類、流量を3.8L～12.8Lで5種類および桿間隔を2.5cm、5.0cm および10.0cmの3種類とした。また水路上流端より6.5mの地点において5断面で桿上および桿間の水深をポインティングゲージによって測定し水面こう配は静圧管により、また水温をチェックした。開水路粗面においては基底のとり方が問題となるが、いま底面を基底として整理して平均流速と相対水深の関係を求めるところ-1のようになる。同一こう配のデータについて対数則がなりたち、常数 A_r はこう配が急になるに従って小さくなる。岩道はこの現象を自由表面の影響として表わしている。これは粗度要素の効果もからんでいると考えられるので以下のモデルで考慮する。

3. 解析 山岡¹⁾は後流の発達の解析に一手法を示し、平野²⁾は比較的大きい粗度が直線的な後流層をもつことを確かめている。図-2に示すモデルにおいても平野にならって1個の桿粗度が1:mの直線こう配のしゃへい域をもつとすると桿粗面上の流れはくさび形の河床上の流れとみなすことができる。桿前面に十分近い検査断面の諸量に添字1および2をつけ単位幅あたりの、この閉曲面にみける運動量の式は次式であらわされる。

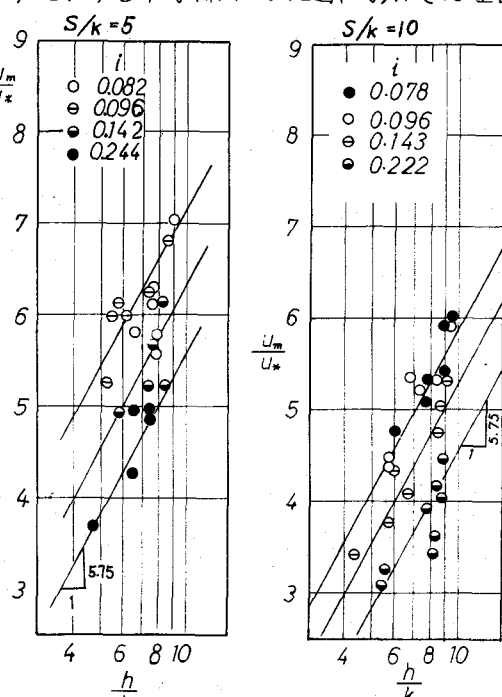


図-1 平均流速と相対水深

$$F = f_k + f_{s1} + f_{s2}$$

$$= \nabla P g \sin \theta + \frac{P g}{2 \cos \theta} \left[(e h_1)^2 - (e_2 h_2)^2 \right]$$

$$+ f \left\{ (h_1 - k) \left(\frac{h_1 - k + b/m}{h_1 - k} \right)^2 U_1^2 - e_2 h_2 U_2^2 \right\}$$

ここに f_k は棟の抗力、 f_{s1} は棟の表面摩擦力、 f_{s2} は後流表面の摩擦力、 ∇ は開閉曲面内の流水の体積、 e_1 および e_2 はそれぞれ有効水深を算出する換算係数、 P および P_2 は水圧、 θ は水路底こう配である。単位長さあたりの棟粗度の数を n とすれば $n = 1/s$ である。 f_{s1} は f_k に含まれるものとし、 f_{s2} は後流の形が棟中心で最も大きくなる波型であらわされることから、 s_1 と s_2 、波長入の波形粗面上の摩擦力として。

$$f_{s2} = \frac{P}{2} f \frac{U_m^2}{2 g}, \sqrt{\frac{8}{f_2}} = 20 \log \left(\frac{h}{k} \frac{k_2}{R_s} \frac{R_s}{R_2} \beta_1 \right)$$

と表わされるものとする。 β_1 は抵抗則中の常数値である。 f_k は抗力係数 C_d を用いて、 $f_k = \frac{P}{2} C_d \varepsilon k U_k^2$ ここで ε は棟のしゃへい係数、 U_k は棟の高さの速度である。 U_k は $U_k/U_* = 8.5 + 5.75 \log \beta_2 k/R_s$ とする。 β_2 は理論的河床勾配からの高さの補正係数である。単位長さあたりの棟の数を n とすると

$$\tau_o = n F = (f_k + f_{s1} + f_{s2})/s \quad (2)$$

より、 U_k は水路床より測定した水深で表わし、連続条件を用いて(1)式をかきなみると(3)式のようになる。

$$\frac{U_m}{U_*} = \frac{\frac{e_1^2 - (e_2 h_2/h_1)^2}{2 \cos \theta \sin \theta} - \frac{1}{2} \varepsilon C_d k (8.5 + 5.75 \log \beta_2 k/R_s)}{\sqrt{\frac{1}{e_1^2} \left[\frac{(1 - (k + b/m)/h_1)^2}{1 - k/h_1} - e_2 \frac{h_2}{h_1} (e_1 h_1)^2 \right] + \frac{l_1 b/h_1}{20 \log \left(\frac{h}{k} \frac{k_2}{R_s} \frac{R_s}{R_2} \beta_1 \right)}}} \quad (3)$$

ここで $e_1 = 1 - (k/h_1 - b/mh_1)$ 、 $e_2 = 1 - (k/h_2 - b/mh_2)$ 、 $\varepsilon = b/mk$ および l_1 はしゃへい境界層の長さの換算係数である。

4. 実験比較 (3)式において、未知数は C_d 、 m および R_s/k である。従来の研究では、 $f_{s2} < f_k$ より f_{s2} が無視されていることが多いのでここでも、まず f_{s2} を無視して測定値と(3)式の比較を行なう。図-3によると、計算曲線は k/h に偏り必ずしも対数則を満足していない。この原因は後流表面の抵抗をとり入れていないことに起因しているものと思われる。この効果を入れるために、用いた係数をどうに合理的につめさ必要がある。

参考文献 1) 大桐淳之: 不規則な粗度でも固定床水路の抵抗、昭24年年報(土木学会)

昭和49年1月

2) 山岡義: 河床上の矩形泡波が水路の抵抗に及ぼす効果の研究、北海道開拓局土木試験所報告 27、昭和37年3月

3) 甲野・若元: 粗度の大きさ、流れにおける抵抗と平均流速について、新砂防 Vol. 31 No. 3

昭和54年2月

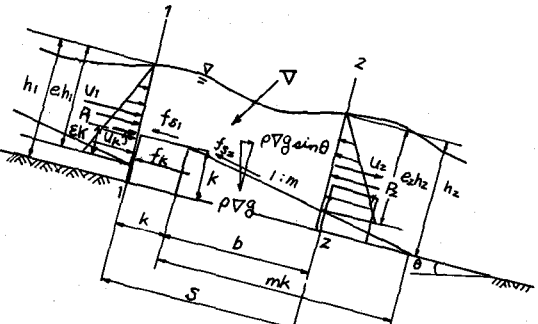


図-2 後流モデルにおける記号説明図

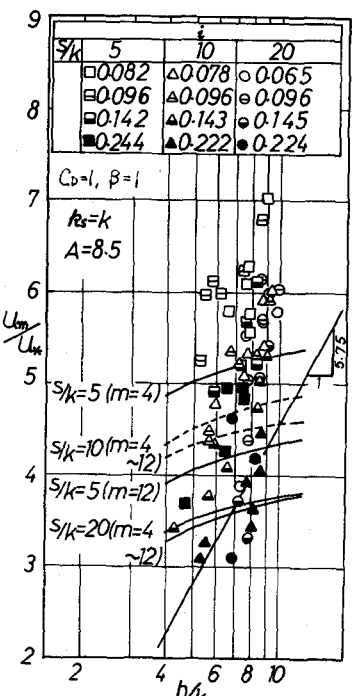


図-3 実測値および計算曲線